

Operace s uzavřenými oblastmi v GIS

Booleovské operace s uzavřenými oblastmi. Offset polygonu.
Minkowského suma.

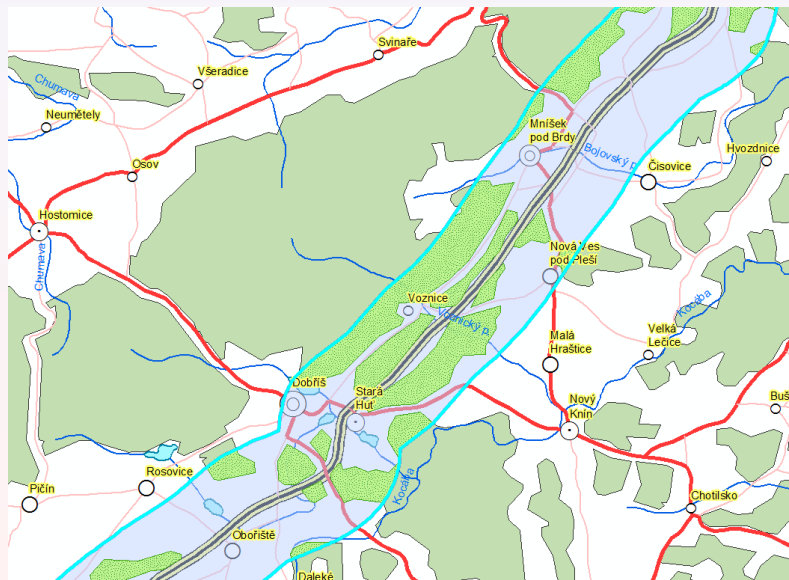
Tomáš Bayer | bayertom@natur.cuni.cz

Katedra aplikované geoinformatiky a kartografie. Přírodovědecká fakulta UK.

Obsah přednášky

- 1 Ukázka použití offsetu polygonu a množinových operací
- 2 Množinové operace, formulace problému
- 3 Množinové operace s nekonvexními regiony
 - Množinové operace s využitím ohodnocení hran
 - Algoritmus konstrukce
- 4 Offset oblasti C
 - Exaktní konstrukce offsetu
 - Minkowského suma
 - Ukázky Minkowského sumy různých množin
 - Konstrukce offsetu s využitím Minkowského sumy
 - Algoritmus pro konstrukci Minkowského sumy

1. Nalezení lesů ležících do 2 km od dálnice



2. Formulace problému

Dáno: Dvojice uzavřených, ohraničených regionů A, B v \mathbb{R}^2 .

Hledáme: $C = A \cap B$, $C = A \cup B$, $C = A \cap \bar{B}$, $C = B \cap \bar{A}$,

Základní analytický nástroj GIS.

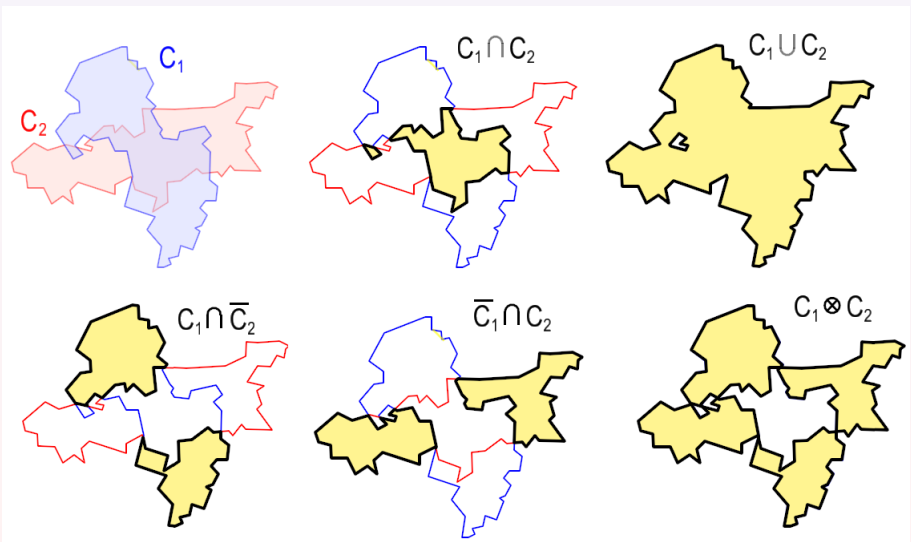
Syntéza a integrace dat z různých zdrojů.

Přehled množinových operací:

- Sjednocení (Union): $C = A \cup B$.
- Průnik (Intersection): $C = A \cap B$.
- Rozdíl (Difference): $C = A \cap \bar{B}$ resp. $C = B \cap \bar{A}$.
- Symmetric difference (XOR): $C = A \Delta B = (A \cup B) \cap (\overline{A \cap B})$.

V geoinformatické praxi implementovány pouze operace 1-3.

3. Ilustrace množinových operací



4. Vlastnosti množinových operací

Komutativita:

$$A \cup B = B \cup A,$$

$$A \cap B = B \cap A,$$

$$A \cap \bar{B} \neq B \cap \bar{A},$$

$$(A \cup B) \cap (\overline{A \cap B}) = (B \cup A) \cap (\overline{B \cap A})$$

Asociativita

$$A \cup (B \cup C) = (A \cup B) \cup C,$$

$$A \cap (B \cap C) = (A \cap B) \cap C,$$

$$A \cap (\overline{B \cap C}) \neq (A \cap \bar{B}) \cap \bar{C},$$

$$A \Delta (B \Delta C) = (A \Delta B) \Delta C,$$

kde

$$A \Delta (B \Delta C) = (A \cup [(B \cup C) \cap \overline{(B \cap C)}]) \cap \overline{(A \cap [(B \cup C) \cap \overline{(B \cap C)}])},$$

$$(A \Delta B) \Delta C = ((A \cup B) \cap \overline{(A \cap B)}) \cup C \cap \overline{((A \cup B) \cap \overline{(A \cap B)}) \cap C}.$$

5. Množinové operace s nekonvexními polygony

Úloha běžně řešená v SW GIS.

Vstupem konvexní či nekonvexní polygony.

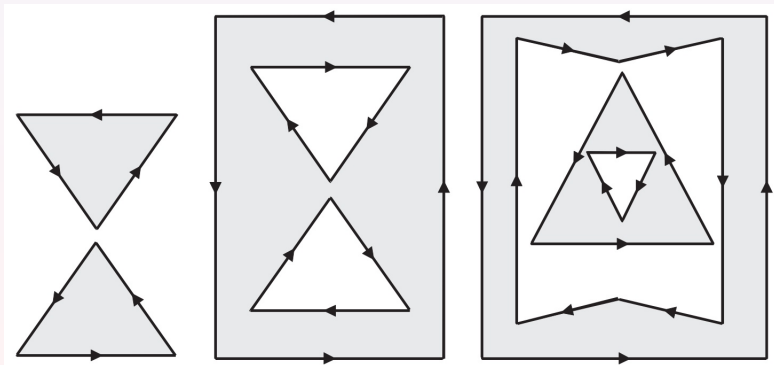
Požadavek na stabilitu a výpočetní efektivitu.

Různé strategie a přístupy řešení:

- *Dekompozice na elementární geometrické operace* (Smith and Dogson, 2006)
Hierarchická dekompozice (6 úrovní), celkem 16 operací.
Výsledek topologicky korektní.
- *Simplicial chains* (Rivero, 2000, Peng et al, 2005, ...)
Rozklad oblastí na řetězce, nad nimi implementovány množinové operace.
Složitější implementace.
- *Rekonstrukce s využitím vzájemné polohy hran*
Často používaná metoda (Greiner, 1998, Martinez et al, 2009).
Hrany děleny na vnitřní/vnější/boundary.
Nevýhoda: robustní metoda řešení PLP.

6. Datový model

Uzavřené oblasti mohou obsahovat otvory (opačná orientace).



7. Množinové operace, vzájemná poloha hran

Použití pro nekonvexní oblasti včetně otvorů.

Uzavřené oblasti $A = \{p_i\}_{i=1}^n$, $B = \{q_j\}_{j=1}^m$.

Složitost $O(m * n)$.

Výsledkem operace

$$C = A \otimes B,$$

prázdná množina, 0D entita, 1D entita, 2D entita nebo jejich kombinace.

A, B reprezentovány kruhovými seznamy.

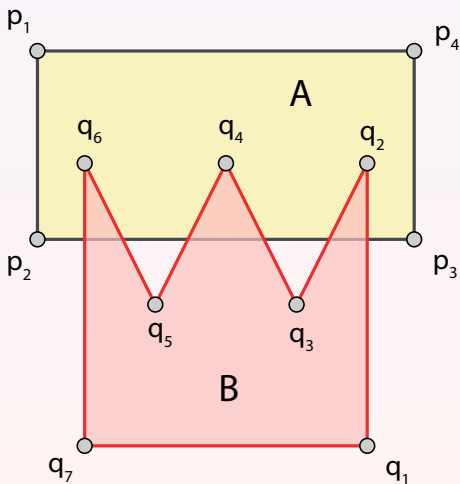
CCW orientace.

Fáze algoritmu:

- Výpočet průsečíků A, B + setřídění
- Update A, B .
- Ohodnocení vrcholů A, B dle pozice vůči B, A .
- Výběr vrcholů dle ohodnocení.
- Vytvoření hran.
- Spojení hran do oblastí.

8. Ukázka, oblasti A , B

A	p_1	p_2	p_3	p_4			
B	q_1	q_2	q_3	q_4	q_5	q_6	q_7



9. Výpočet průsečíků A, B

Oblasti A, B mají k průsečíků b_{ij} ,

$$b_{ij} = e_i \cap e'_j, \quad e_i = (p_i, p_{i+1}), \quad e'_j = (q_j, q_{j+1}).$$

Metoda výpočtu průsečíků:

1) *Naivní algoritmus*

Složitostí $O(m \cdot n)$, test všech kombinací $e_i \cap e'_j$.

2) *Line Sweep (Bentley-Ottman)*.

Složitostí $\theta(n \cdot \log(n))$, obtížnější implementace.

Výpočet průsečíku b_{ij} segmentů e_i, e'_j :

$$b_{ij} = p_i + \alpha \vec{u} = p_j + \beta \vec{v},$$

směrové vektory $\vec{u}, \vec{v}, \vec{w}$

$$\vec{u} = (x_{i+1} - x_i, y_{i+1} - y_i), \quad \vec{v} = (x_{j+1} - x_j, y_{j+1} - y_j), \quad \vec{w} = (x_i - x_j, y_i - y_j).$$

Parametry α, β

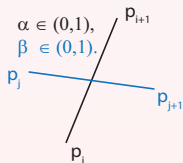
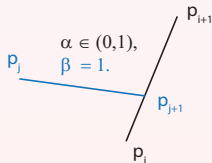
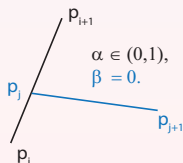
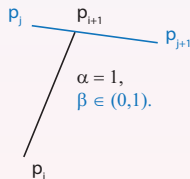
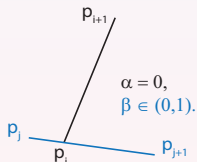
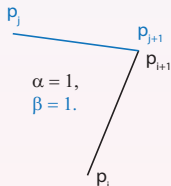
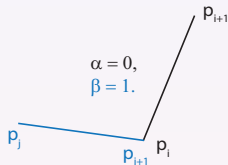
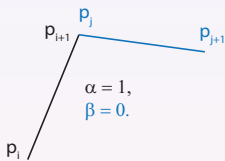
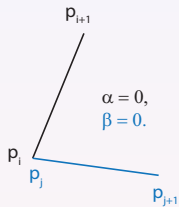
$$\alpha = \frac{k_1}{k_3}, \quad \beta = \frac{k_2}{k_3}, \quad k_1 = v_x w_y - v_y w_x, \quad k_2 = u_x w_y - u_y w_x, \quad k_3 = v_y u_x - v_x u_y.$$

$k_1 = 0, k_2 = 0, k_3 = 0$: e_i, e'_j kolineární.

$k_1 = 0$ a $k_2 = 0$: e_i, e'_j rovnoběžné.

$\alpha \in \langle 0, 1 \rangle$ a $\beta \in \langle 0, 1 \rangle$: $\exists b_{ij}$, jinak mimoběžné.

10. Ukázky průsečíků segmentů



11. Implementační detaily

Odvozená struktura uchovává další vlastnosti:

```
class QPointFB : public QPointF{
    double alpha;           //Value of  $\alpha$  parameter
    double beta;           //Value of  $\beta$  parameter
    TPointPolygonPosition pos; //Midpoint  $\bar{p} = 0.5(p_i + p_{i+1})$  position
```

Kromě parametrů α, β , uchováváme polohu středního bodu hrany jedné oblasti

$$\bar{p}_i = 0.5(p_i + p_{i+1})$$

vůči druhé oblasti; viz 14.

Zpracování průsečíku b :

Oblast P s n vrcholy, i index poč. bodu hrany e , $t \equiv \alpha|\beta$.

Řešeny pouze průsečíky představující vnitřní body e .

Algoritmus 2: ProcessIntersection(b, t, P, i)

- 1: if ($|t| > \epsilon$ && $||t| - 1| > \epsilon$):
- 2: $i \leftarrow i + 1$ //Inkrementuj pozici
- 3: $P \leftarrow (b, i)$ //Přidej průsečík na pozici $i + 1$.

12. Výpočet průsečíků, naivní algoritmus

Hledání všech průsečíků b_{ij} .

Pro segment $e_i = (p_i, p_{i+1})$ procházíme postupně všechny segmenty $e'_j = (q_j, q_{j+1})$.

Zásady:

1) Segment e'_j protíná e_i nejvýše jednou

Průsečík b_{ij} lze přidat mezi body q_j a q_{j+1} přímo.

2) Segment e_i může být protnut více segmenty e'_j

Průsečík b_{ij} zatím nelze přidat mezi p_i a p_{i+1} .

Nutno spočítat všechny b_{ij} : e_i testován vůči všem e'_j

$$b_{ij} = e_i \cap e'_j, \quad i = \text{const}, j = 1, \dots, m - 1.$$

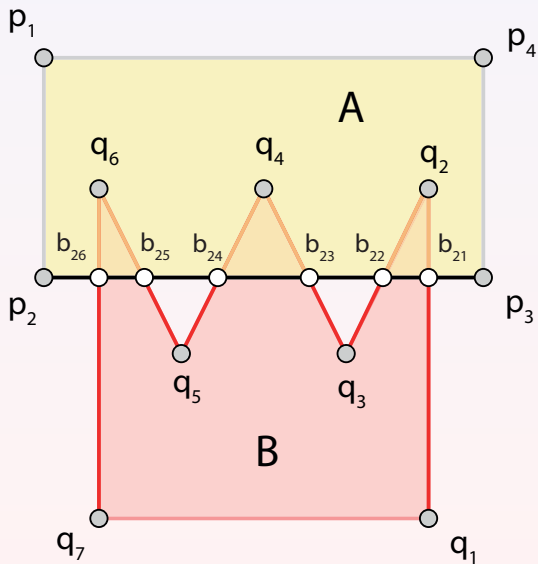
Dvojice (*key*, *val*) uchovávány v mapě M dle α

$$M(\alpha) = (\alpha_i, b_{ij}).$$

Následně M přidána mezi body p_i a p_{i+1} .

Složitost $O(m, n)$.

13. Ukázka průsečíků segmentů



14. Update seznamů A, B

S každým nalezeným průsečíkem $e_i \cap e'_j, j = 1, \dots, m - 1$, updatován B .

Průsečík b_{ij} vložen mezi body p_j, p_{j+1} .

Pro A průsečíky b_{ij} ukládány do $M(\alpha)$.

Po nalezení všech b_{ij} průsečíků $e_i \cap e'_j$ hromadně updatován A .

$M(\alpha)$ přidána mezi body p_i, p_{i+1} .

A	p_1	p_2	p_3	p_4									
B	q_1	q_2	q_3	q_4	q_5	q_6	q_7						
1. B	q_1	b_{21}	q_2	q_3	q_4	q_5	q_6	q_7					
2. B	q_1	b_{21}	q_2	b_{22}	q_3	q_4	q_5	q_6	q_7				
3. B	q_1	b_{21}	q_2	b_{22}	q_3	b_{23}	q_4	q_5	q_6	q_7			
4. B	q_1	b_{21}	q_2	b_{22}	q_3	b_{23}	q_4	b_{24}	q_5	q_6	q_7		
5. B	q_1	b_{21}	q_2	b_{22}	q_3	b_{23}	q_4	b_{24}	q_5	b_{25}	q_6	q_7	
6. B	q_1	b_{21}	q_2	b_{22}	q_3	b_{23}	q_4	b_{24}	q_5	b_{25}	q_6	b_{26}	q_7
7. A	p_1	p_2	b_{26}	b_{25}	b_{24}	b_{23}	b_{22}	b_{21}	p_3	p_4			

Op.

→

→

→

→

→

→

←

$M(\alpha)$

	b_{21}				
	b_{22}	b_{21}			
	b_{23}	b_{22}	b_{21}		
	b_{24}	b_{23}	b_{22}	b_{21}	
	b_{25}	b_{24}	b_{23}	b_{22}	b_{21}
	b_{26}	b_{25}	b_{24}	b_{23}	b_{22}
	b_{26}	b_{25}	b_{24}	b_{23}	b_{22}

15. Algoritmus výpočtu průsečíků

Pro segment $e_i = (p_i, p_{i+1})$ hledány průsečíky b_{ij} se všemi $e'_j = (q_j, q_{j+1})$.

Pokud $\exists b_{ij}$, pro e'_j zpracován přímo (přidán nebo updatován q_j/q_{j+1}).

Pro segment e_i přidán do M (zatím neznáme všechny b_{ij}).

Po nalezení všech b_{ij} postupně sekvenčně přidány z M .

Algoritmus 2: ComputeIntersections(A, B)

```
1: for ( $i = 0; i < n; i++$ ):
2:      $M = \text{map} \langle \text{double}, \text{QPointFB} \rangle$  //Vytvoření mapy
3:     for ( $j = 0; j < m; j++$ ):
4:         if  $b_{ij} = (p_i, p_{(i+1)\%m}) \cap (q_j, q_{(j+1)\%m}) \neq \emptyset$  //Existuje průsečík
5:              $M[\alpha_i] \leftarrow b_{ij}$  //Přidej do  $M$ 
6:             ProcessIntersection( $b_{ij}, \beta, B, j$ ) //Zpracuj první průsečík pro  $e'_j$ 
7:     if ( $\|M\| > 0$ ) //Nějaké průsečíky jsme našli
8:         for  $\forall m \in M$ : //Procházej všechny průsečíky v  $M$ 
9:              $b \leftarrow m.\text{second}$  //Získej 2. hodnotu z páru
10:            ProcessIntersection( $b, \alpha, A, i$ ) //Zpracuj aktuální průsečík pro  $e_i$ 
```

16. Poloha hran A, B

O poloze $e_i = (p_i, p_{i+1})$ k B rozhoduje poloha libovolného vnitřního bodu

$$\bar{p}_i = 0.5(p_i + p_{i+1}),$$

analogicky pro $e'_j = (q_j, q_{j+1})$ vzhledem k A

$$\bar{q}_j = 0.5(q_j + q_{j+1}).$$

Každému $\bar{p}_i \in A$ určíme polohu vzhledem k B .

Každému $\bar{q}_j \in B$ určíme polohu vzhledem k A .

Ohodnocovací fce g

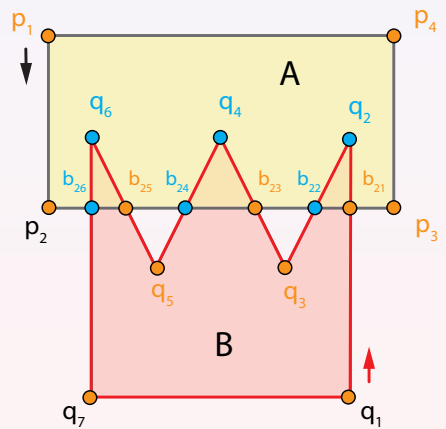
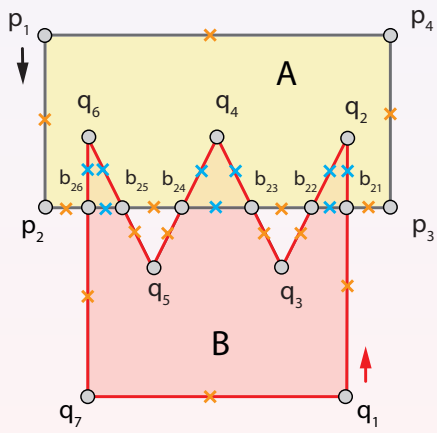
$$g(e_i, B) = g(\bar{p}_i, B) = \begin{cases} OUT, & \bar{p}_i \notin B, \\ BND, & \bar{p}_i \in \partial B, \\ IN, & \bar{p}_i \in B, \end{cases} \quad g(e'_j, A) = g(\bar{q}_j, A) = \begin{cases} OUT, & \bar{q}_j \notin A, \\ BND, & \bar{q}_j \in \partial A, \\ IN, & \bar{q}_j \in A. \end{cases}$$

Hrany rozděleny na vnitřní, vnější, ležící na hranci A/B .

Tato informace uložena do počátečního bodu hrany :

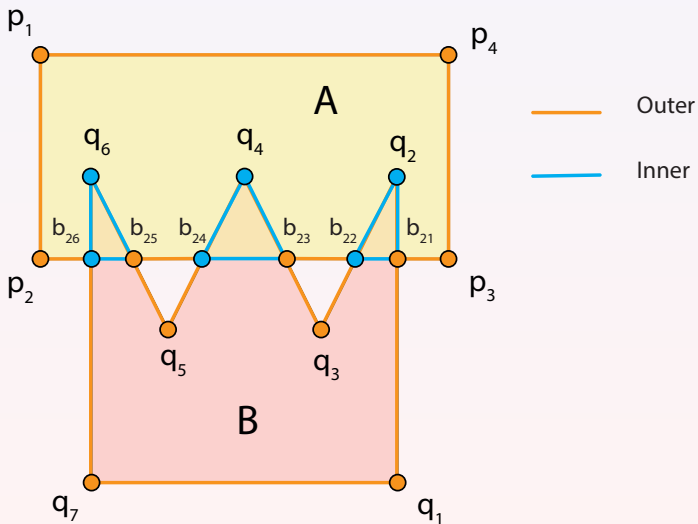
```
TPointPolygonPosition pos; //Midpoint  $\bar{p} = 0.5(p_i + p_{i+1})$  position
```

17. Ukázka ohodnocení vrcholů A, B



— Inner — Outer

18. Ukázka ohodnocení hran A, B



19. Ukázka ohodnocení hran A, B

Ohodnocení hran vrcholů A, B :

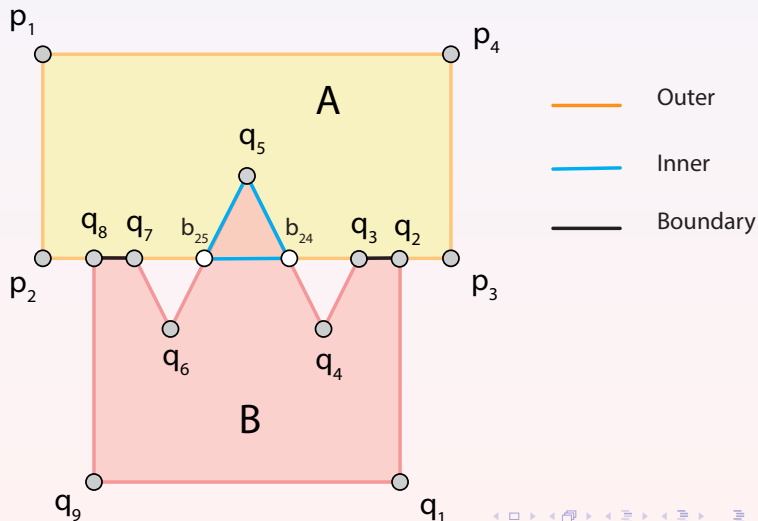
A	p_1	p_2	b_{26}	b_{25}	b_{24}	b_{23}	b_{22}	b_{21}	p_3	p_4			
$g(e_i, B)$	0	0	1	0	1	0	1	0	0	0			
B	q_1	b_{21}	q_2	b_{22}	q_3	b_{23}	q_4	b_{24}	q_5	b_{25}	q_6	b_{26}	q_7
$g(e'_j, A)$	0	1	1	0	0	1	1	0	0	1	1	0	0

V A, B se nevyskytují singulární segmenty (kolineární).

Chybí ohodnocení BND (boundary).

20. Singulární A, B

Přibude ohodnocení BND, kolineární segmenty.



21. Výběr hran dle ohodnocení

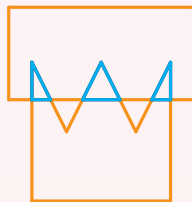
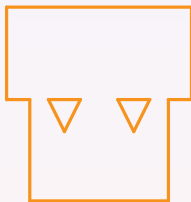
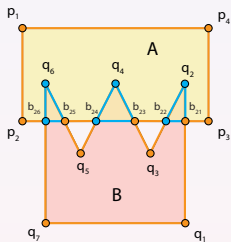
Výběr hran A, B dle prováděné množinové operace.
Z hran následně sestaveny fragmenty.

Operace	A	B
$C = A \cap B$	Inner	Inner
$C = A \cup B$	Outer	Outer
$C = A \cap \bar{B}$	Outer	Inner
$C = B \cap \bar{A}$	Inner	Outer
$C = A \Delta B,$	Inner + Outer	Inner + Outer

Nestabilita: nepřesné určení polohy bodu a oblasti.

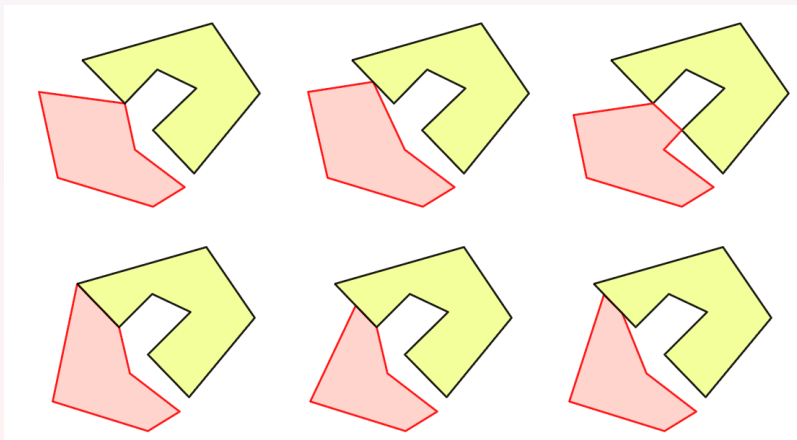
Pro singulární případy atribut BND.

22. Výsledek množinových operací



23. Problematické situace

Při odladění algoritmu nutné zohlednit řadu singularit: např. oblasti mající společný pouze jeden vrchol, stranu, část strany...



24. Formulace problému

Dáno: Uzavřená a ohraničená oblast C v \mathbb{R}^2 či linie.

Hledáme: Offset C_d oblasti C .

Definice 1:

Offset C_d oblasti C představuje ekvidistantu oblasti tvořenou hraniční křivkou této oblasti $c(t)$ ve vzdálenosti d .

Offset obecné oblasti nemusí být racionální křivkou.

Rovnoběžné křivky (tzv. Bertrandovy křivky) mají společné hlavní normály (platí pro C a C_d).

Definice 2:

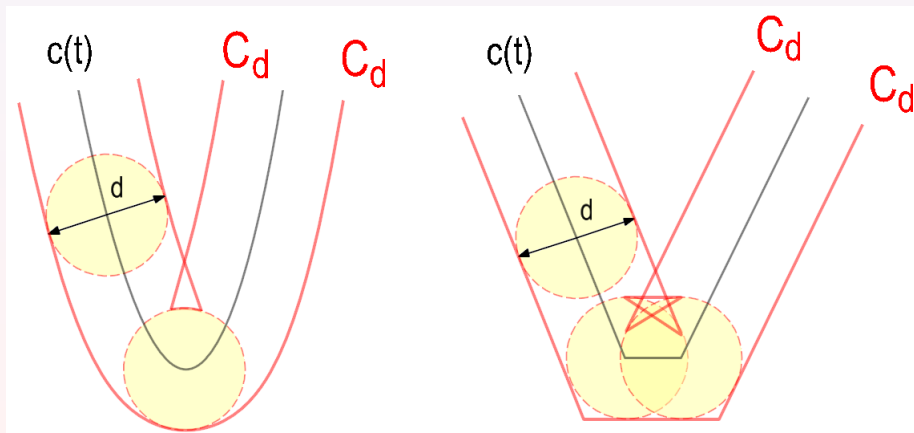
Offset C_d definován jako obálka soustavy kružnic s poloměrem d , jejichž střed se pohybuje po $c(t)$.

Offset C_d může protínat sám sebe, na C_d .

Vznikají singulární body, jejichž vzdálenost od C je menší než $d \Rightarrow$ singulární část offsetu.

25. Ukázka offsetu C_d

Offset C^d obsahující singulární body.



26. Konstrukce offsetu

Metody konstrukce offsetu:

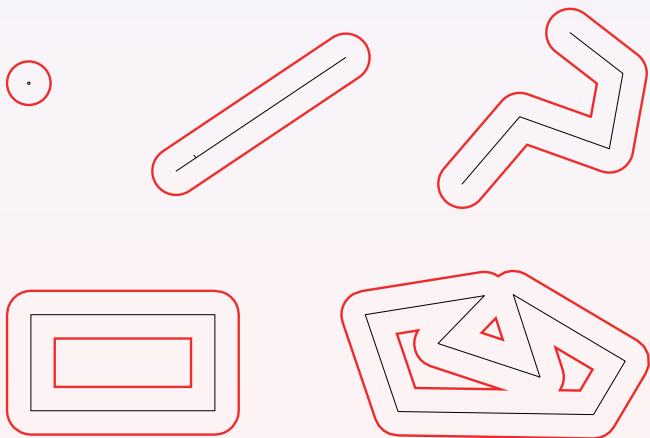
- 1 *Analytická konstrukce*
Použití pro linie, konvexní oblasti, snadná implementace.
Oblouky vzorkovány (náhrada konvexním n -úhelníkem).
- 2 *Využití Winding number*
Offset segmentů a odstranění smyček aplikací WA.
- 3 *Přibližná konstrukce*
Straight skeleton, místo smršťování roztažení.
Netřeba provádět dekompozici.
Chybí zaoblené segmenty (kružnicové oblouky).
- 4 *Minkowského suma*
Nekonvexní oblasti: dekompozice na konvexní (triangulace).
Nad každou oblast Minkowského suma + dissolving.
Alternativně lze použít konvoluci.

Topologicky korektní implementace je náročná.

Obecné problémy: numerická přesnost, stabilita, množství singularit.

Dissolving: opakované sjednocení bufferů nad jednotlivými segmenty.

27. Ukázky offsetu pro různé prvky

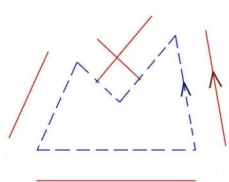


28. Ukázky offsetu s využitím WA

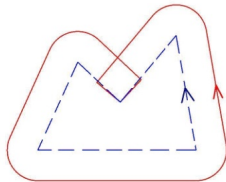
Posun každého segmentu

Propojení s původními vrcholy \Rightarrow non-simple polygon.

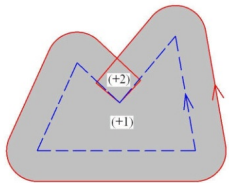
Non-simple části polygonu odstraněny WA.



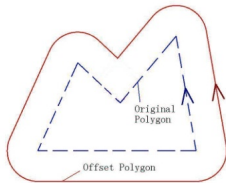
(a) Offset each edge



(b) Connect offset edges



(c) Calculate the winding number of each region



(d) Get the boundary of areas with positive winding

29. Exaktní konstrukce offsetu, liniové segmenty

Definice offsetu nad segmentem $e_i = (p_i, p_{i+1})$

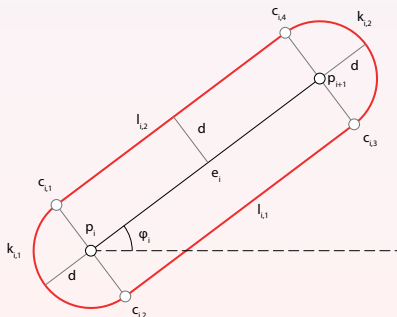
$$C_d(e_i) = \{c \mid \|c - e_i\| = d\}.$$

Tvoření 2 úsečkami a 2 kružnicovými oblouky

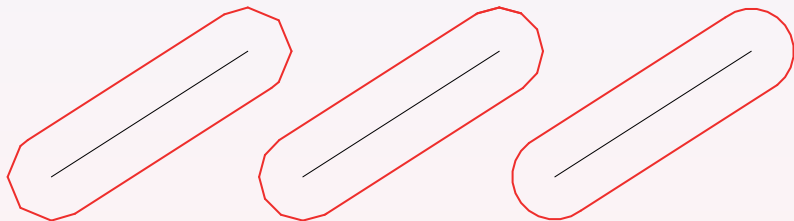
$$C_d(e_i) = \{k_{i,1}, l_{i,1}, k_{i,2}, l_{i,2} \mid \|k_{i,1} - p_{i+1}\| = \|l_{i,1} - e_i\| = \|k_{i,2} - p_i\| = \|l_{i,2} - e_i\| = d\},$$

kde

$$k_{i,1}(c_{i,1}, c_{i,2}, d), l_{i,1} = (c_{i,2}, c_{i,3}), k_{i,2}(c_{i,3}, c_{i,4}, d), l_{i,2} = (c_{i,4}, c_{i,1}).$$



30. Liniový offset, různý krok vzorkování



29. Offset, polylinie

Polylinie $L = \{p_1, \dots, p_n\}$.

Nad každým segmentem $e_i = (p_i, p_{i+1})$ vygenerován liniový buffer

$$C_d(e_i) = \{c \mid \|c - e_i\| = d\}.$$

Dissolving:

Sjednocení n liniových bufferů nad L

$$C_d(L_n) = \bigcup_{i=1}^n C_d(e_i).$$

Reflexní vrchol :

Generuje kružnicový oblouk, jinak liniové segmenty.

Může vést k rozpadu $C_d(L)$ na vnitřní a vnější offset

$$C_d(L) = \{C_{d,o}(L), C_{d,i}(L) \mid C_{d,i}(L) \in C_{d,o}(L)\}.$$

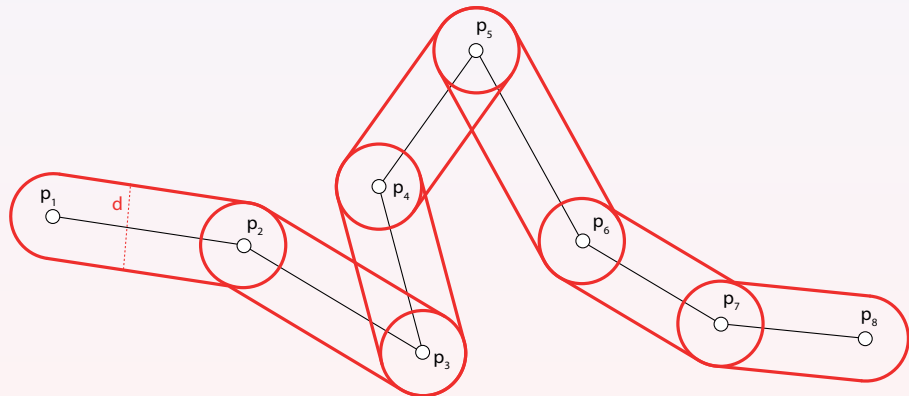
Vnitřní offset nemusí existovat pro různá d .

Inkrementální algoritmus:

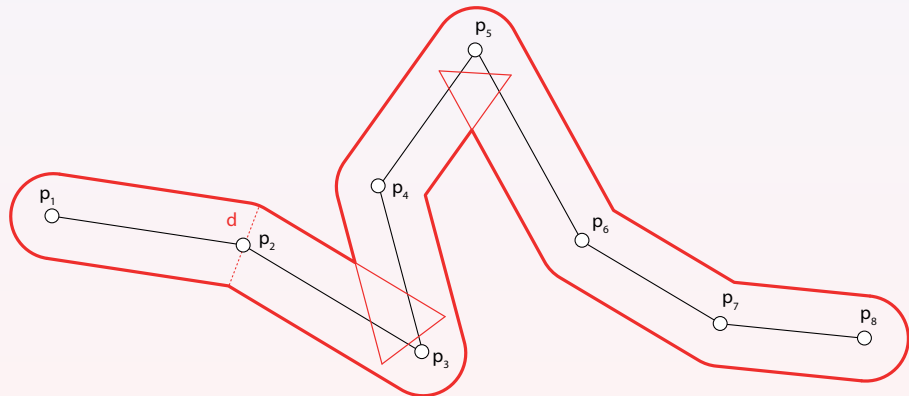
Offset nad k segmenty polylinie L z offsetu pro $k - 1$ segmenty.

Tento následně sjednocen s offsetem k -tého segmentu

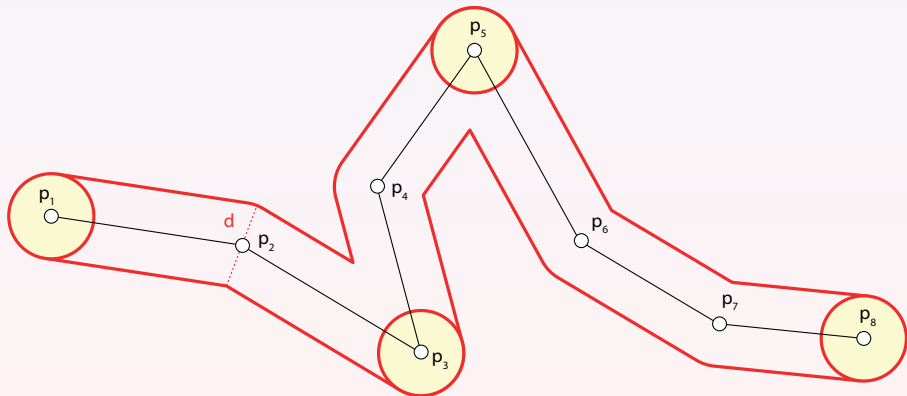
30. Offset nad segmenty polylinie



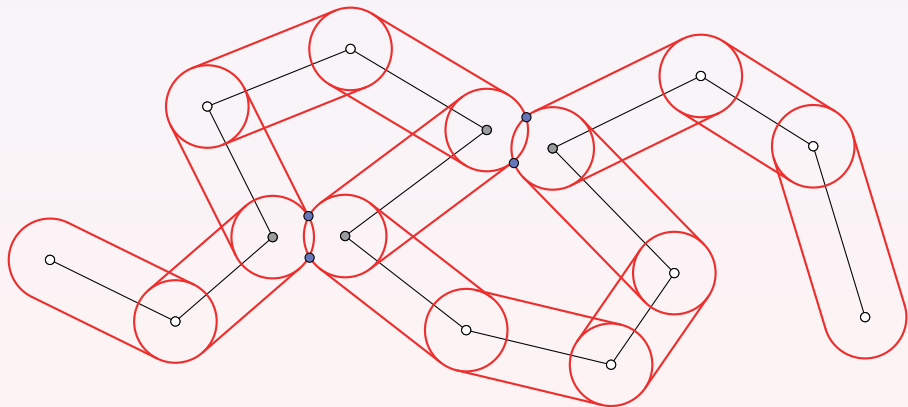
31. Offset polylinie: dissolve, singularity



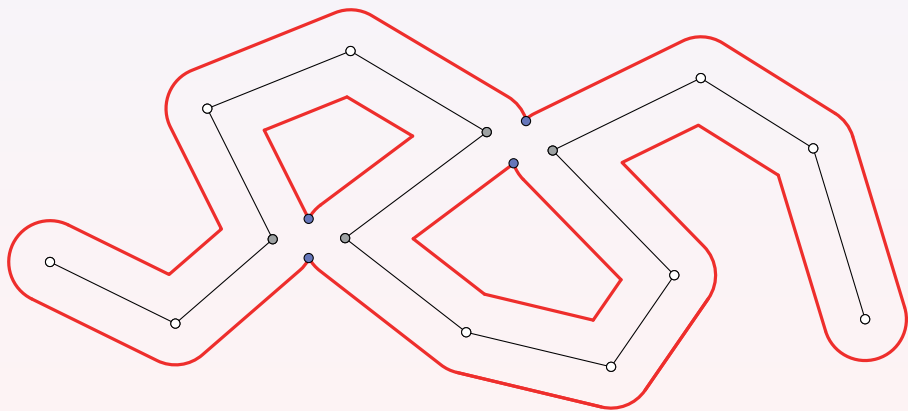
32. Offset polylinie: dissolve, bez singularit (GIS)



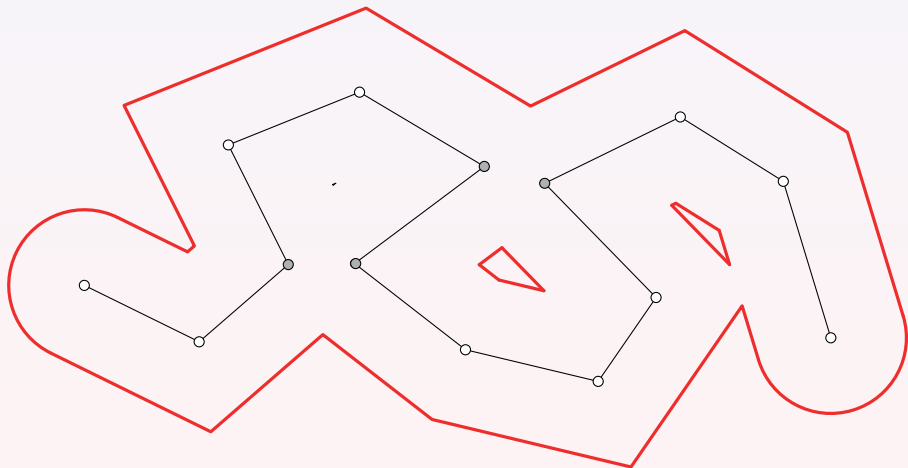
33. Reflexní vrchol, vnitřní/vnější offset



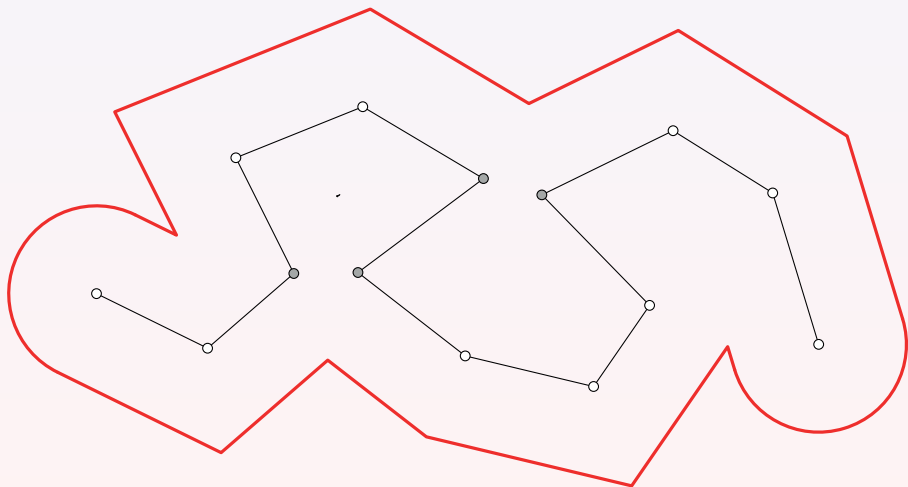
34. Reflexní vrchol, vnitřní/vnější offset: dissolving



35. Zánik vnitřního offsetu I.



36. Zánik vnitřního offsetu II.



37. Offset uzavřené oblasti

Uzavřená oblast $P = \{p_1, \dots, p_n\}$.

Nad každým segmentem $e_i = (p_i, p_{i+1})$ vygenerován liniový buffer

$$C_d(e_i) = \{c \mid \|c - e_i\| = d\}.$$

Proces dissolvingu

$$C_d(P_n) = \bigcup_{i=1}^n C_d(e_i).$$

Reflexní vrchol opět generuje kružnicový oblouk, jinak liniové segmenty.

Může vést k rozpadu na vnitřní a vnější offset.

Vždy existuje vnější offset, v některých případech i vnitřní offset

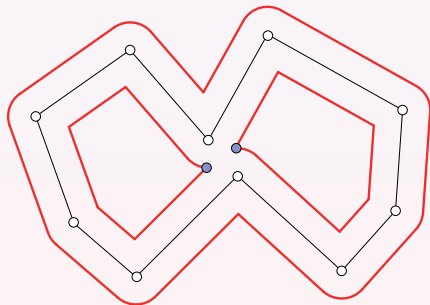
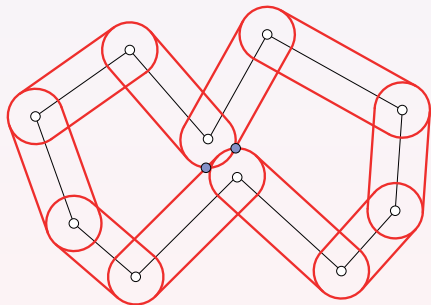
Inkrementální konstrukce:

Offset nad k segmenty oblasti P z offsetu pro $k - 1$ segmentů P .

Poté sjednocen s offsetem k -tého segmentu

$$C_d(L_k) = C_d(L_{k-1}) \cup C_d(e_k).$$

38. Rozpad offsetu



39. Minkowského suma v E_2

Definice:

Nechť \mathcal{A}, \mathcal{B} jsou dvě množiny bodů v E_2 . Minkowského suma $\mathcal{A} \oplus \mathcal{B}$ je definována jako

$$\mathcal{A} \oplus \mathcal{B} = \bigcup_{b \in \mathcal{B}} \mathcal{A}^b,$$

kde množina $\mathcal{A}^b = \{a + b \mid a \in \mathcal{A} \wedge b \in \mathcal{B}\} = \mathcal{A} + b$ je množina \mathcal{A} posunutá o vektor b .

Komutativita a asociativita Minkowského sumy:

$$\begin{aligned} \mathcal{A} \oplus \mathcal{B} &= \mathcal{B} \oplus \mathcal{A}, \\ (\mathcal{A} \oplus \mathcal{B}) \oplus \mathcal{C} &= \mathcal{A} \oplus (\mathcal{B} \oplus \mathcal{C}). \end{aligned}$$

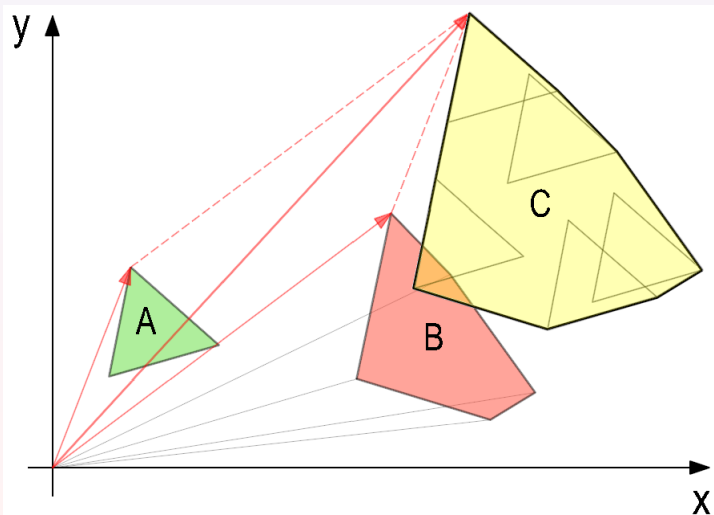
Minkowského suma 2 konvexních resp. nekonvexních množin je konvexní resp. konvexní nebo nekonvexní množina.

Nechť A_i a B_j jsou množiny v \mathbb{E}_2 , pak

$$\bigcup_i A_i \oplus \bigcup_j B_j = \bigcup_{i,j} (A_i \oplus B_j).$$

Tato vlastnost používána při hledání Minkowského sumy nekonvexních množin.

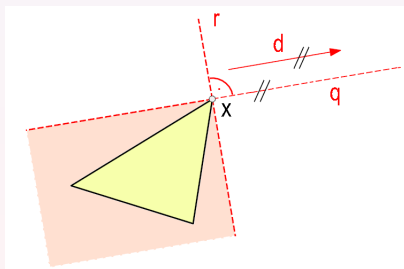
40. Ilustrace Minkowského sumy



41. Extrémní bod

Extrémní bod množiny \mathcal{A} ve směru daném vektorem d :

Takový bod $x \in \mathcal{A}$, pro který všechny ostatní body množiny \mathcal{A} leží v polorovině (q, r) , kde $q(x, d)$ a $r(x, \perp d)$.

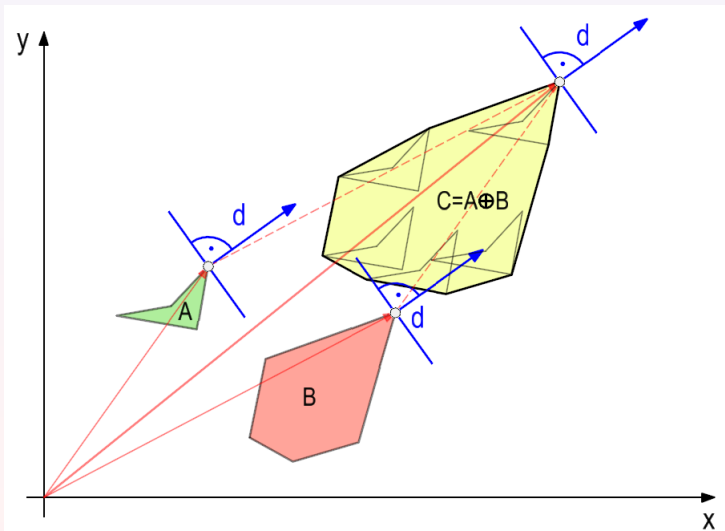


Nalezení extrémního bodu:

Extrémní bod C ve směru d je součtem extrémních bodů \mathcal{A}, \mathcal{B} ve směru d .

Důležité pro konstrukci Minkowského sumy.

42. Znáznornění vztahu extrémních bodů

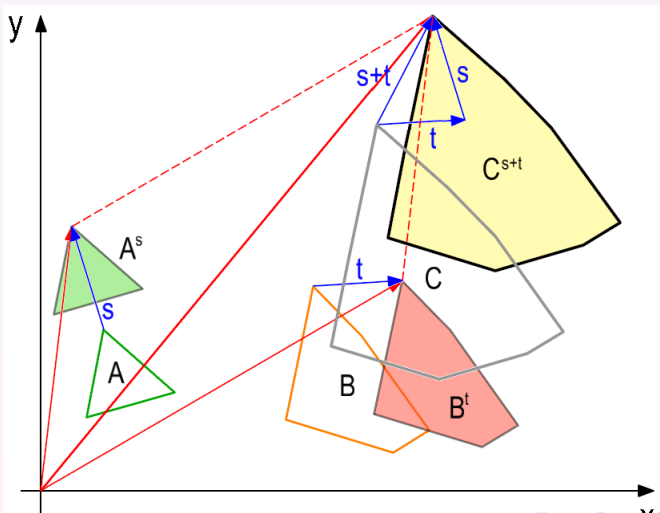


43. Invariance vůči posunu

Posun \mathcal{A} , \mathcal{B} o libovolné vektory s , t

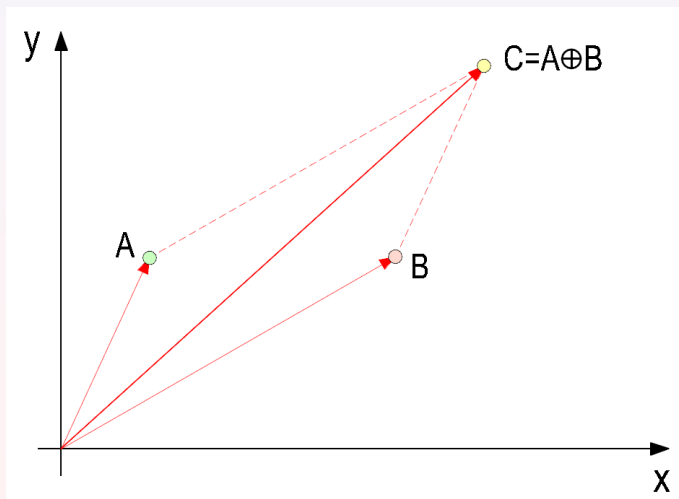
$$C = \mathcal{A}^s \oplus \mathcal{B}^t = (\mathcal{A} \oplus \mathcal{B})^{s+t},$$

nemá vliv na velikost a tvar C ; C bude posunuta o součet vektorů $s + t$.



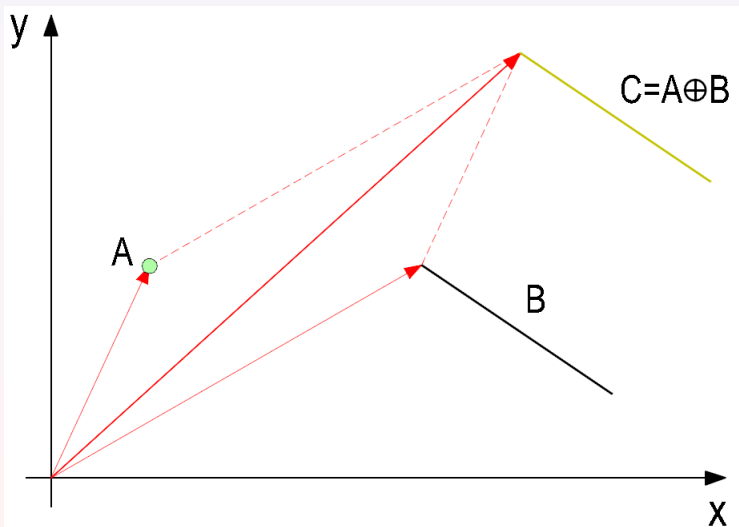
44. Minkowského suma 2 bodů

Minkowského suma dvou bodů je jednobodová množina.



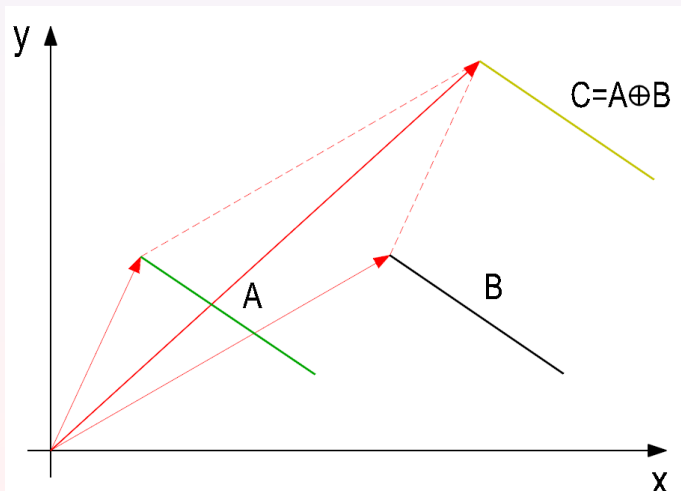
45. Minkowského suma bodu a úsečky

Minkowského suma bodu a úsečky jednobodová úsečka.

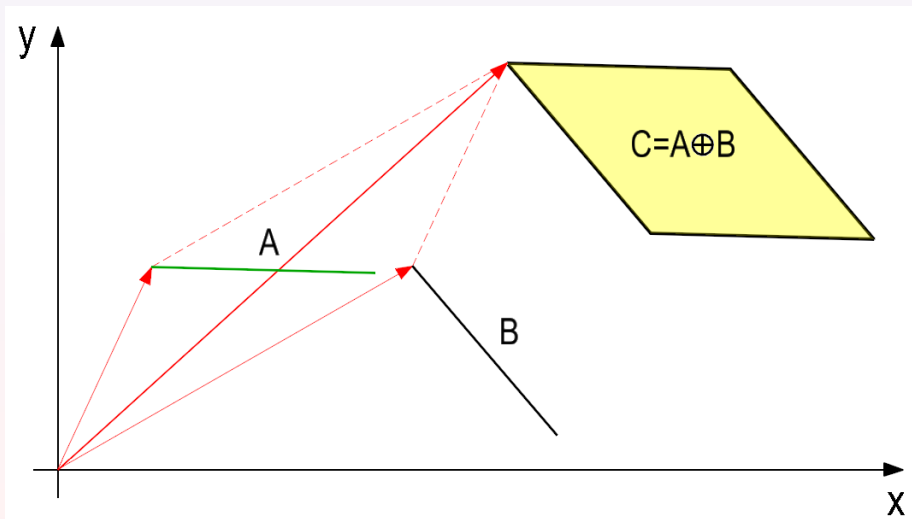


46. Minkowského suma 2 úseček

Pokud jsou úsečky rovnoběžné, je výsledkem úsečka.
V opačném případě výsledkem konvexní 4-úhelník.

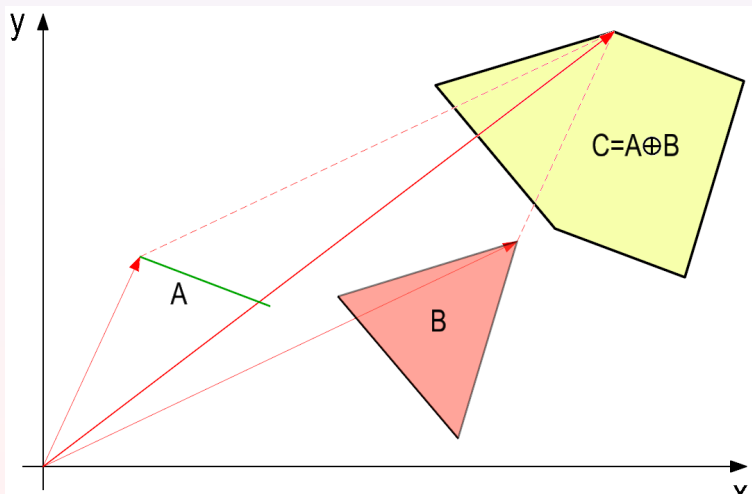


47. Minkowského suma 2 úseček



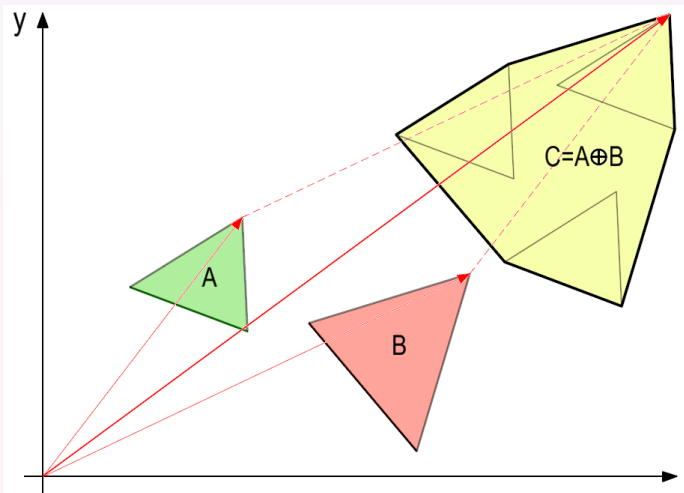
48. Minkowského úsečky a trojúhelníku

Pokud není úsečka rovnoběžná s žádnou stranou trojúhelníku, výsledkem je konvexní pětiúhelník.



49. Minkowského suma 2 trojúhelníků

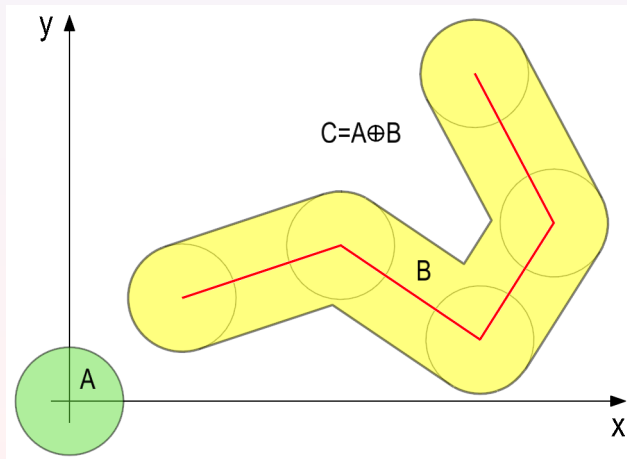
Minkowského suma dvou trojúhelníků představuje konvexní n úhelník s počty vrcholů $n \in (3, 6)$.



50. Minkowského suma linie a kruhu

Kruh k s poloměrem r , počátek v bodě $[0, 0]$.

Minkowského suma kruhu a linie L je offset L (buffer).



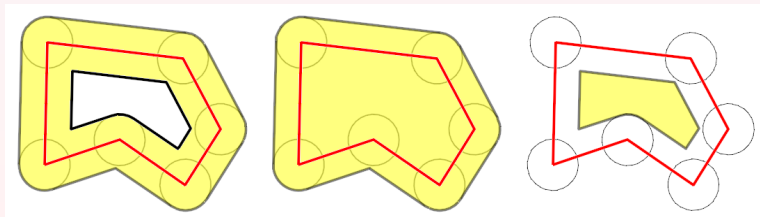
51. Minkowského suma uzavřené oblasti a kruhu

Kruh k s poloměrem r , počátek v bodě $[0, 0]$.

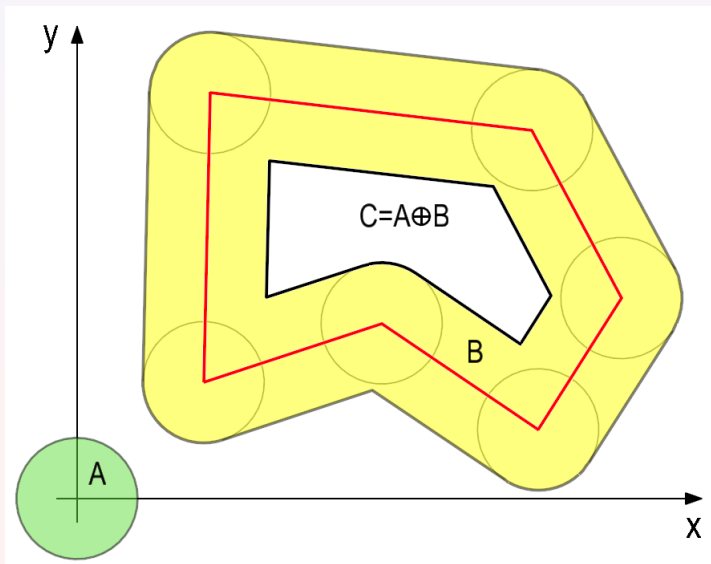
Minkowského suma kruhu a uzavřené oblasti C je offset C (buffer).

3 varianty bufferu nad uzavřenou oblastí C :

- *Vnitřní i vnější buffer:*
Ekvidistanta konstruována uvnitř i vně C .
- *Vnější buffer*
Ekvidistanta pouze vně C , nejčastěji používaná varianta.
- *Vnitřní buffer*
Ekvidistanta pouze uvnitř C , nelze vždy zkonstruovat, problém singulárních segmentů.



52. Minkowského suma uzavřené oblasti a kruhu



53. Přehled algoritmů

Konstrukce Minkowského sumy:

- dekompozice na konvexní polygony,
- konvoluční metoda (složitý algoritmus).

Dekompoziční metoda.

Dekompozice oblasti na konvexní oblasti (triangulace).

Každá zpracována samostatně.

Extrémní bod množiny $C = \mathcal{A} \oplus \mathcal{B}$ je součtem extrémních bodů množin \mathcal{A} , \mathcal{B} .

Hranici C tvoří pouze úsečky rovnoběžné s hranami \mathcal{A} , \mathcal{B} .

Následně sjednocení lokálních C nad oblastmi.

Princip algoritmu:

Nový bod c součtem dvou extrémních bodů

$$c = a_i + b_j,$$

Extrémní bod c je koncový bod "levějšího" z vektorů

$$u = a_{i+1} - a_i, \quad v = b_{j+1} - b_j.$$

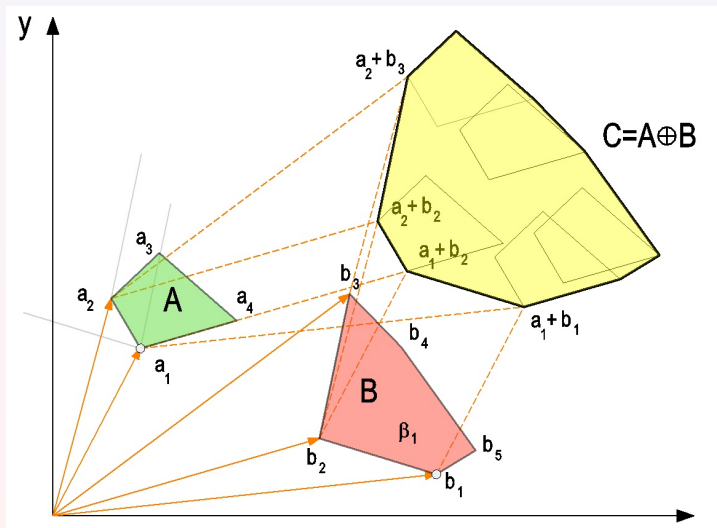
Spočteme orientaci v vzhledem k u

$$t = \begin{vmatrix} u_x & u_y \\ v_x & v_y \end{vmatrix}.$$

Inkrementace i, j dle výsledků testu (inkrementujeme index v "levějším" segmentu)

$$i = \begin{cases} i + 1, & t \leq 0, \\ i, & \text{jinak,} \end{cases}, \quad j = \begin{cases} j + 1, & t \geq 0, \\ j, & \text{jinak,} \end{cases}.$$

54. Ilustrace algoritmu



55. Implementace algoritmu

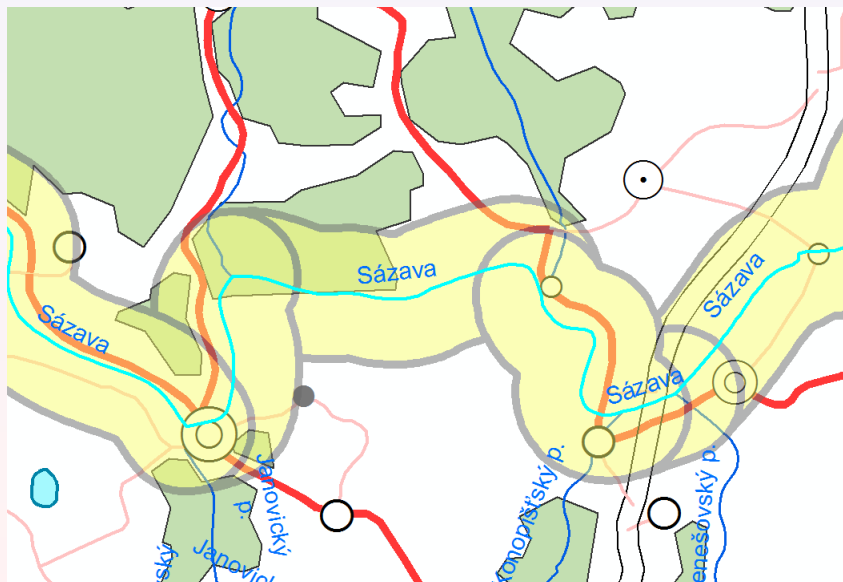
CW orientace vrcholů oblasti.

Složitost algoritmu $O(m + n)$.

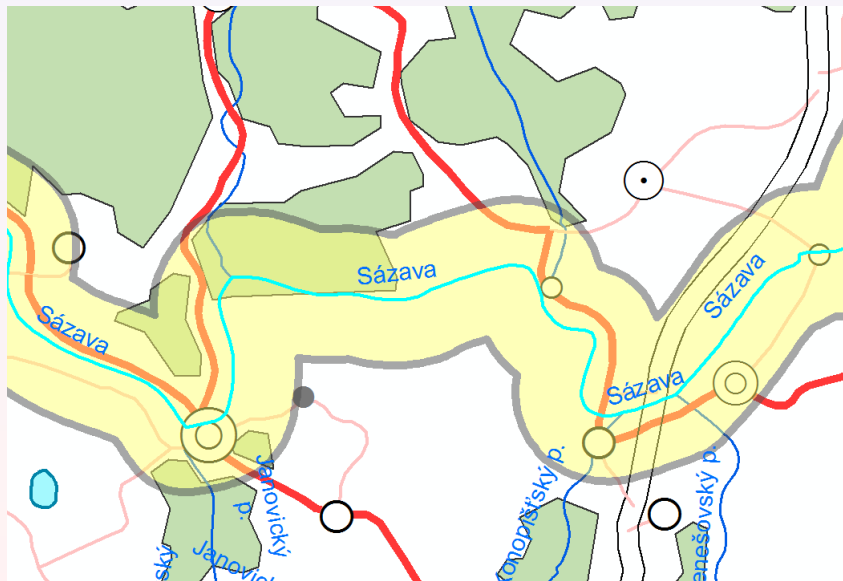
Algoritmus 2: Minkowski ($\mathcal{A}, \mathcal{B}, C$)

- 1: Seřazení vrcholů p_i, q_j oblastí \mathcal{A}, \mathcal{B} ve směru hodinových ručiček.
- 2: Označ a_1 a b_1 extrémní vrcholy \mathcal{A}, \mathcal{B} s min. hodnotou y .
- 3: Inicializuj $i, j, k = 1$.
- 4: while $i < \text{len}(\mathcal{A}) - 2$ or $j < \text{len}(\mathcal{B}) - 2$:
- 5: $c_k = a_i + b_j, k = k + 1$.
- 6: $u = a_{i+1} - a_i, v = b_{j+1} - b_j$
- 6: $t = \begin{vmatrix} u_x & u_y \\ v_x & v_y \end{vmatrix}$.
- 8: if $t \leq 0$
- 9: $i = i + 1$
- 10: if $t \geq 0$
- 11: $j = j + 1$

56. Ilustrace bufferu nad liniovým prvkem



57. Ilustrace bufferu nad liniovým prvkem (Dissolve)



58. Ilustrace bufferu nad uzavřenou oblastí

